

**Результаты испытания на коррозионное растрескивание сталей в FeCl_3 при 360°C и давлении 190 мм рт. ст.
(концентрация хлор-ионов 100 мг/л)**

Легирующий элемент (ион)	Температура облучения, $^\circ\text{C}$	Время до разрушения образцов, ч	
		0X16H15M3Б	1X13C2M2
He^+	~100	350	90
Ni^+	~100	350	30
Cr^+	~100	230	60
Cr^+	~500	30	70
Необлученные образцы		130	40

меньше 1 мкм. Наблюдаемое изменение микротвердости стали на столе значительной глубине может быть следствием радиационно-стимулированной диффузии точечных дефектов и образования дислокационных петель, которые вызывают искажения решетки и упрочняют материал [9].

Из рисунка (а, б, в) следует, что внедрение ионов металлов (никель, хром) приводит к более значительному увеличению микротвердости поверхностного слоя, чем внедрение ионов гелия. Однако при облучении ионами гелия образуется слой с постоянной твердостью (142 кгс/мм²) на всей толщине ~30 мкм, в то время как при бомбардировке ионами металлов микротвердость быстро спадает. Аналогичный слой толщиной ~20 мкм с постоянной повышенной микротвердостью ~210 кгс/мм² был получен при облучении ионами гелия феррито-мартенситной стали типа 1X13C2M2 (см. рисунок, а).

Сложный характер изменения микротвердости по сечению образца стали типа 0X16H15M3Б, облученного ионами хрома при 500°C (см. рисунок, г), по-видимому, обусловлен суммарным влиянием различных процессов, один из которых приводят к упрочнению, другие — к разупрочнению. В частности, искажение кристаллической решетки в результате возникновения радиационных дефектов и образования мелкодисперсных фаз приводит к упрочнению имплантационного слоя. Однако при радиационном воздействии может происходить и ускоренная релаксация упругих напряжений. Наличие максимума (см. рисунок, г) может отражать совокупное влияние на микротвердость этих различных процессов. Для стали 1X13C2M2 с оцк-решеткой (см. рисунок, б, в, г) при облучении ионами метал-

лов доминирующую роль играет ускоренная релаксация напряжений.

Анализ результатов коррозионных испытаний (см. таблицу) показывает, что после поверхностного легирования ионами гелия, никеля и хрома примерно при 100°C существенно возрастает время до разрушения стали типа 0X16H15M3Б в 2,7 раза при облучении ионами никеля и гелия и в 1,7 раза при облучении ионами хрома. Как видно из таблицы, облучение ионами гелия (и в меньшей степени ионами хрома) феррито-мартенситной стали также приводит к увеличению ее времени до разрушения.

Из сопоставления рисунка и данных таблицы следует, что за исключением образцов стали 1X13C2M2, облученных ионами Cr^+ , наблюдается корреляция между изменением микротвердости и коррозионной стойкостью имплантационного слоя. Нельзя не отметить, что повышение коррозионной стойкости имплантационного слоя может быть связано с появлением поверхностного барьера из легирующих атомов, препятствующего диффузии в глубь образца хлор-ионов, кислорода и других стимуляторов коррозии. Возможно, что некоторое повышение коррозионной стойкости стали 1X13C2M2 после бомбардировки ионами Cr^+ объясняется доминирующим влиянием поверхностного барьера.

В заключение авторы благодарят В. П. Войкова за большую помощь в проведении коррозионных испытаний имплантированных образцов.

СПИСОК ЛИТЕРАТУРЫ

- Погодин В. П., Богоявленский В. Л., Сентюров В. П. Межкристаллитная коррозия и коррозионное растрескивание сталей в водных растворах. М., Атомиздат, 1970.
- Suss H. «Corrosion», 1962, v. 18, N 1, p. 17; 1961, v. 17, N 2, p. 63.
- Tozono X. e.a. «J. Japan Inst. Metals», 1960, v. 24, N 12, p. 786.
- Ruttmann W., Gunther T. «Werkstoffe und Korrosion», 1965, N 2, S. 104.
- Хирный Ю. М., Солодовников А. П. «Докл. АН СССР», 1974, т. 214, № 1, с. 82.
- Autill A. e.a. «Corr. Sci.», 1976, v. 16, N 10, p. 729.
- Бушаров Н. П. и др. «Приборы и техника эксперимента», 1967, т. 4, с. 19.
- Lindhard J., Scharff M., Schiott H. «Kgl. danske vid selskab. Mat.-fys. medd.», 1963, Bd 33, N 14.
- Bykov V. N., Troyan V. A. «Phys. Stat. Sol.», 1975, v. 32, p. 53.

Поступило в Редакцию 26.06.78

УДК 621.039.514.4

О нестационарной диффузии мгновенных нейтронов в быстрых сборках

КОЛЕСОВ В. Е., МАКАРОВ О. И., МАТВЕЕНКО И. П.

В экспериментах с импульсным источником мгновенных нейтронов после переходного периода характерна зависимость $\varphi_\alpha(\bar{r}, \bar{v}) \exp(-\alpha_0 t)$, где α_0 описывает асимптотическое затухание нейтронного импульса и одинакова при измерении детекторами любой спектральной чувствительности в любой точке исследуемой системы. При слабой зависимости α_0 от \bar{r} и \bar{v} (что типично для быстрых реакторов) говорят о квазиасимптотическом распределении потока нейтронов.

Для оценки границ диапазона существования асимптотических (или квазиасимптотических) распределений актуальное значение имеет численный расчет нестационарных процессов. Ограничимся рассмотрением многогруппового одномерного нестационарного уравнения диффузии. Чис-

ленный метод решения такого уравнения с малым числом групп (2–3 группы) предложен в работе [1]. В настоящей работе рассматривается многогрупповая задача с числом групп более 20. Рассмотрим уравнение

$$\hat{v}^{-1} \frac{\partial \bar{\Phi}}{\partial n} \Big|_{\gamma} - \operatorname{div} \hat{D} \operatorname{grad} \bar{\Phi} + \hat{\Sigma} \bar{\Phi} = \hat{S} \bar{\Phi} + \hat{T} \bar{\Phi} \quad (1)$$

с граничными и начальными условиями вида

$$\hat{D} = \frac{\partial \bar{\Phi}}{\partial n} \Big|_{\gamma} = -\hat{l} \bar{\Phi}; \bar{\Phi}(r, t)|_{t=0} = \bar{\Phi}_0(r),$$

где G — число энергетических групп; $\bar{\Phi}(r, t) = \{\varphi^{(1)}(r, t), \varphi^{(2)}(r, t), \dots, \varphi^G(r, t)\}$; \hat{S} — нижнетреугольная, \hat{T} —

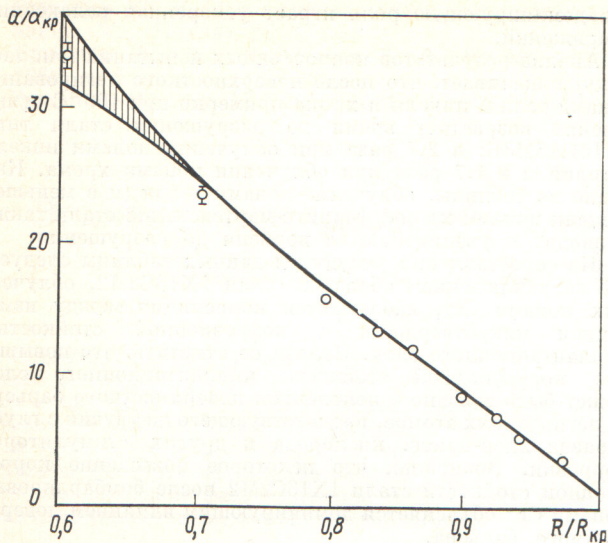


Рис. 1. Зависимость α/α_{kp} от радиуса сборки БФС-32: — расчет; ○ — эксперимент

полная, \hat{v}^{-1} , \hat{D} , $\hat{\Sigma}$ и \hat{l} — диагональные матрицы порядка G с неотрицательными коэффициентами. Для уравнения (1) всегда существует асимптотическое решение, однако асимптотическое распределение может устанавливаться через слишком большой промежуток времени после импульса, в то время как интерес представляет интервал времени, в течение которого поток нейтронов не упадет ниже уровня чувствительности приборов или фона.

Будем решать уравнение (1) разностным методом. Аппроксимация стационарного уравнения изучена достаточно хорошо в работе [2], поэтому перейдем сразу к дифференциально-разностному уравнению

$$\hat{v}_h^{-1} \frac{\partial \bar{\Phi}_h}{\partial t} = \hat{\Lambda}_h \bar{\Phi}_h + \hat{T}_h \bar{\Phi}_h, \quad (2)$$

где $\hat{\Lambda}_h$, \hat{v}_h^{-1} , \hat{T}_h — разностные аппроксимации операторов $\operatorname{div} \hat{D} \operatorname{grad} - \hat{\Sigma} + \hat{S}$, \hat{v}^{-1} , \hat{T} . Для больших значений времени $\Phi_h(r, t) \approx \Phi_{ha}(r) \exp(-\alpha_0 t)$. При численном расчете необходимо проследить динамику изменения потока нейтронов от начального импульса до установившегося значения, поэтому разностная схема должна быть асимптотически устойчивой [2]. Поскольку среди двухслойных

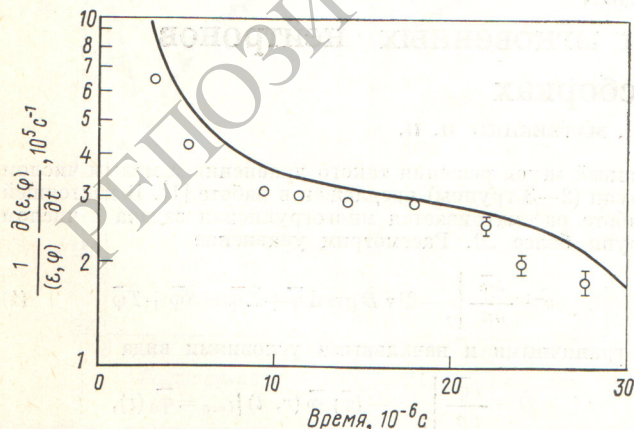


Рис. 2. Зависимость логарифмической производной скорости счета от времени для сборки из двуокиси природного урана (обозначения те же)

схем для параболического уравнения только чисто неявная безусловно асимптотически устойчива, применим оператор $\hat{\Lambda}_h$ на верхнем слое по t . Матрица \hat{T} является полной, ее удобнее применять на нижнем слое. Для уменьшения погрешности в асимптотическом или квазиасимптотическом состояниях введем поправки, использующие экспоненциальный по t вид решения. В результате

$$\begin{aligned} \hat{v}_h^{-1} \kappa [\bar{\Phi}_h(t) - \bar{\Phi}_{ht}(r, t-\tau)] &= \\ &= \hat{\Lambda}_h \bar{\Phi}_{ht}(r, t) + \hat{T}_h \bar{\Phi}_{ht}(r, t-\tau), \end{aligned} \quad (3)$$

где τ — шаг по времени;

$$\begin{aligned} \beta &= \exp(-\alpha t); \kappa = -dt/[1 - \exp(\alpha t)]; \\ \alpha &= \frac{1}{-\tau} \ln \left(\frac{\|\bar{\Phi}_{ht}(r, t-2\tau)\|}{\|\bar{\Phi}_{ht}(r, t-\tau)\|} \right). \end{aligned} \quad (4)$$

Решение уравнения (3) находится для каждого значения t одномерными прогонками последовательно в группах начиная с первой. Схема (3) обладает безусловной асимптотической устойчивостью и сходимостью, причем, как показывают расчеты, введение поправок (4) значительно увеличивает точность расчета. В работе [3] для некоторых простых случаев (например, при $\hat{T}_h = 0$) доказывается, что $\alpha \rightarrow \alpha_a$, $\bar{\Phi}_{ht} \exp(\alpha t) \rightarrow \bar{\Phi}_{ha} \text{ const}$ при $t \rightarrow \infty$ для любых τ . На практике эти условия выполняются при произвольных \hat{T}_h даже в более общем случае, когда поправки (4) вводятся отдельно для каждой группы.

Схема (3) была реализована в виде программы НЕСТОР (нестационарный одномерный расчет) на языке алгол для ЭВМ М-220. Для взаимного сравнения результатов экспериментов и расчетов использовались данные измерений на сборках двух типов. Первый тип — серия однозонных размножающих систем с составом, близким к составу активных зон энергетических быстрых реакторов (сборка БФС-32 [4]). Характерным для этих систем было наличие квазиасимптотических распределений потока нейтронов. Эксперимент второго типа соответствовал непрерывному изменению нейтронного спектра во времени. Изучалась сборка на основе окиси природного урана — материала для экранов быстрых реакторов. Методика измерений и параметры аппаратуры соответствовали [4] (рис. 1 и 2).

В первом случае значение α вычисляли для детекторов различной спектральной чувствительности $\epsilon(E)$. Для сборок радиусом от R_{kp} до $0,7R_{kp}$ декремент α после переходного периода длительностью $\sim 1,5$ мкс практически остается постоянным. Для сборок меньших размеров α начинает заметным образом изменяться со временем и зависеть от типа детектора. На рис. 1 приведены данные для детектора с $\epsilon(E) = \Sigma_j^5(E)$. При этом в зависимости $\alpha(t) = \frac{1}{(\epsilon, \varphi)} \frac{\partial(\epsilon, \varphi)}{\partial t}$ после переходного периода наблюдается участок наименьшего наклона — плато. Максимальные и минимальные значения α , приведенные на рис. 1, соответствуют начальным и конечным моментам времени, взятым симметрично относительно середины плато при спаде потока нейтронов в 10^2 раз. Во втором случае расчет и эксперимент проводили для детектора с $\epsilon(E) = \Sigma_j^5(E)$, расположенного в центре сборки. Использовалась 26-групповая система констант БНАБ.

Согласие эксперимента и расчета подтверждает применимость приближений для расчета кинетики мгновенных нейтронов в сборках (до $K_{\text{эфф}} = 0,7$ и менее).

СПИСОК ЛИТЕРАТУРЫ

1. Колесов Б. И. Препринт ФЭИ-275. Обнинск, 1971.
2. Самарский А. А., Гулин А. В., Устойчивость разностных схем. М., «Наука», 1973.
3. Колесов В. Е., Макаров О. И. Препринт ФЭИ-822. Обнинск, 1978.
4. Матвеенко И. П. и др. «Атомная энергия», 1978, т. 44, вып. 3, с. 262.

Поступило в Редакцию 17.07.78